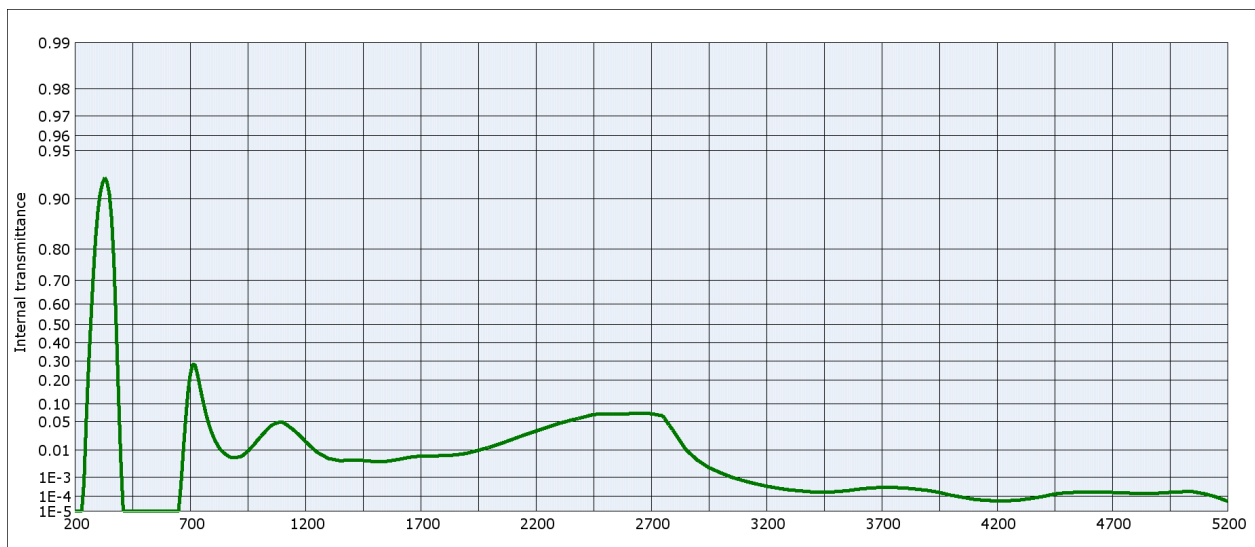


UG11

SCHOTT



Internal transmittance τ_i at reference thickness $d = 1$ mm
The internal transmittance values, tabulated and graphically represented, are reference values only

λ [nm]	τ_i	λ [nm]	τ_i	λ [nm]	τ_i	λ [nm]	τ_i	λ [nm]	τ_i	λ [nm]	τ_i
200	$< 10^{-5}$	500	$< 10^{-5}$	800	$2.4 \cdot 10^{-2}$	1100	$4.9 \cdot 10^{-2}$	2200	$3.2 \cdot 10^{-2}$	3700	$3.2 \cdot 10^{-4}$
210	$< 10^{-5}$	510	$< 10^{-5}$	810	$1.8 \cdot 10^{-2}$	1110	$4.6 \cdot 10^{-2}$	2250	$3.8 \cdot 10^{-2}$	3750	$3.2 \cdot 10^{-4}$
220	$< 10^{-5}$	520	$< 10^{-5}$	820	$1.4 \cdot 10^{-2}$	1120	$4.3 \cdot 10^{-2}$	2300	$4.6 \cdot 10^{-2}$	3800	$3.0 \cdot 10^{-4}$
230	$< 10^{-5}$	530	$< 10^{-5}$	830	$1.1 \cdot 10^{-2}$	1130	$3.9 \cdot 10^{-2}$	2350	$5.3 \cdot 10^{-2}$	3850	$2.6 \cdot 10^{-4}$
240	$6.1 \cdot 10^{-4}$	540	$< 10^{-5}$	840	$9.1 \cdot 10^{-3}$	1140	$3.7 \cdot 10^{-2}$	2400	$6.0 \cdot 10^{-2}$	3900	$2.2 \cdot 10^{-4}$
250	$5.6 \cdot 10^{-2}$	550	$< 10^{-5}$	850	$8.0 \cdot 10^{-3}$	1150	$3.3 \cdot 10^{-2}$	2450	$6.8 \cdot 10^{-2}$	3950	$1.7 \cdot 10^{-4}$
260	0.276	560	$< 10^{-5}$	860	$7.0 \cdot 10^{-3}$	1160	$3.0 \cdot 10^{-2}$	2500	$7.0 \cdot 10^{-2}$	4000	$1.2 \cdot 10^{-4}$
270	0.521	570	$< 10^{-5}$	870	$6.3 \cdot 10^{-3}$	1170	$2.7 \cdot 10^{-2}$	2550	$7.0 \cdot 10^{-2}$	4050	$9.0 \cdot 10^{-5}$
280	0.712	580	$< 10^{-5}$	880	$5.9 \cdot 10^{-3}$	1180	$2.4 \cdot 10^{-2}$	2600	$7.0 \cdot 10^{-2}$	4100	$6.7 \cdot 10^{-5}$
290	0.825	590	$< 10^{-5}$	890	$5.8 \cdot 10^{-3}$	1190	$2.1 \cdot 10^{-2}$	2650	$7.2 \cdot 10^{-2}$	4150	$5.7 \cdot 10^{-5}$
300	0.880	600	$< 10^{-5}$	900	$5.9 \cdot 10^{-3}$	1200	$1.8 \cdot 10^{-2}$	2700	$7.0 \cdot 10^{-2}$	4200	$5.2 \cdot 10^{-5}$
310	0.907	610	$< 10^{-5}$	910	$6.1 \cdot 10^{-3}$	1250	$8.8 \cdot 10^{-3}$	2750	$6.4 \cdot 10^{-2}$	4250	$5.4 \cdot 10^{-5}$
320	0.920	620	$< 10^{-5}$	920	$6.4 \cdot 10^{-3}$	1300	$5.5 \cdot 10^{-3}$	2800	$3.0 \cdot 10^{-2}$	4300	$6.1 \cdot 10^{-5}$
330	0.926	630	$< 10^{-5}$	930	$7.0 \cdot 10^{-3}$	1350	$4.6 \cdot 10^{-3}$	2850	$1.1 \cdot 10^{-2}$	4350	$7.6 \cdot 10^{-5}$
340	0.921	640	$< 10^{-5}$	940	$8.1 \cdot 10^{-3}$	1400	$4.8 \cdot 10^{-3}$	2900	$4.8 \cdot 10^{-3}$	4400	$1.0 \cdot 10^{-4}$
350	0.906	650	$< 10^{-5}$	950	$9.4 \cdot 10^{-3}$	1450	$4.6 \cdot 10^{-3}$	2950	$2.5 \cdot 10^{-3}$	4450	$1.4 \cdot 10^{-4}$
360	0.866	660	$3.6 \cdot 10^{-4}$	960	$1.1 \cdot 10^{-2}$	1500	$4.3 \cdot 10^{-3}$	3000	$1.6 \cdot 10^{-3}$	4500	$1.7 \cdot 10^{-4}$
370	0.756	670	$8.1 \cdot 10^{-3}$	970	$1.3 \cdot 10^{-2}$	1550	$4.3 \cdot 10^{-3}$	3050	$1.0 \cdot 10^{-3}$	4550	$1.7 \cdot 10^{-4}$
380	0.482	680	$5.0 \cdot 10^{-2}$	980	$1.5 \cdot 10^{-2}$	1600	$5.0 \cdot 10^{-3}$	3100	$7.0 \cdot 10^{-4}$	4600	$1.8 \cdot 10^{-4}$
390	0.120	690	0.138	990	$1.8 \cdot 10^{-2}$	1650	$6.0 \cdot 10^{-3}$	3150	$5.0 \cdot 10^{-4}$	4650	$1.7 \cdot 10^{-4}$
400	$4.0 \cdot 10^{-3}$	700	0.222	1000	$2.1 \cdot 10^{-2}$	1700	$6.6 \cdot 10^{-3}$	3200	$3.7 \cdot 10^{-4}$	4700	$1.7 \cdot 10^{-4}$
410	$1.0 \cdot 10^{-5}$	710	0.278	1010	$2.5 \cdot 10^{-2}$	1750	$6.7 \cdot 10^{-3}$	3250	$2.9 \cdot 10^{-4}$	4750	$1.6 \cdot 10^{-4}$
420	$< 10^{-5}$	720	0.283	1020	$2.8 \cdot 10^{-2}$	1800	$6.8 \cdot 10^{-3}$	3300	$2.4 \cdot 10^{-4}$	4800	$1.5 \cdot 10^{-4}$
430	$< 10^{-5}$	730	0.240	1030	$3.3 \cdot 10^{-2}$	1850	$7.2 \cdot 10^{-3}$	3350	$2.1 \cdot 10^{-4}$	4850	$1.5 \cdot 10^{-4}$
440	$< 10^{-5}$	740	0.185	1040	$3.7 \cdot 10^{-2}$	1900	$8.0 \cdot 10^{-3}$	3400	$1.8 \cdot 10^{-4}$	4900	$1.6 \cdot 10^{-4}$
450	$< 10^{-5}$	750	0.136	1050	$4.1 \cdot 10^{-2}$	1950	$1.0 \cdot 10^{-2}$	3450	$1.8 \cdot 10^{-4}$	4950	$1.7 \cdot 10^{-4}$
460	$< 10^{-5}$	760	$9.7 \cdot 10^{-2}$	1060	$4.4 \cdot 10^{-2}$	2000	$1.2 \cdot 10^{-2}$	3500	$1.9 \cdot 10^{-4}$	5000	$1.9 \cdot 10^{-4}$
470	$< 10^{-5}$	770	$6.7 \cdot 10^{-2}$	1070	$4.6 \cdot 10^{-2}$	2050	$1.6 \cdot 10^{-2}$	3550	$2.1 \cdot 10^{-4}$	5050	$1.9 \cdot 10^{-4}$
480	$< 10^{-5}$	780	$4.7 \cdot 10^{-2}$	1080	$4.8 \cdot 10^{-2}$	2100	$2.0 \cdot 10^{-2}$	3600	$2.6 \cdot 10^{-4}$	5100	$1.4 \cdot 10^{-4}$
490	$< 10^{-5}$	790	$3.3 \cdot 10^{-2}$	1090	$4.8 \cdot 10^{-2}$	2150	$2.6 \cdot 10^{-2}$	3650	$3.0 \cdot 10^{-4}$	5150	$9.4 \cdot 10^{-5}$